

6.2 Die Virialentwicklung für reale Gase

$$\frac{p}{k_B T} = \underbrace{\rho}_{\frac{N}{V}} + B_2(T) \rho^2 + B_3(T) \rho^3 + \dots \quad (6.9)$$

Virialkoeffizienten

a) allgemeiner Weg: große Potental: $\Omega = -PV \stackrel{(6.22)}{=} -k_B T \ln Z_G \stackrel{(6.23)}{=}$

$$\frac{p}{k_B T} = \frac{1}{V} \ln Z_G$$

mit $Z_G \stackrel{(6.21)}{=} \sum_{N=0}^{\infty} e^{\beta \mu N} Z_N = \sum_{N=0}^{\infty} z^N Z_N \quad (6.10)$

$z = e^{\beta \mu}$... Fugazität

$$(i) \quad \ln Z_G = a_1 z + a_2 z^2 + a_3 z^3 + \dots$$

mit $a_1 = Z_1 \sim V$

$$a_2 = Z_2 - \frac{1}{2} Z_1^2$$

$$a_3 = Z_3 - \frac{Z_1 Z_2}{2} + \frac{1}{3} Z_1^3 \quad (6.11)$$

$$(ii) \quad \bar{N} = a_1 z + 2a_2 z^2 + 3a_3 z^3 + \dots$$

$$\hookrightarrow z = c_1 \rho + c_2 \rho^2 + c_3 \rho^3 + \dots$$

$$\rightarrow \frac{p}{k_B T} = \rho + B_2 \rho^2 + B_3 \rho^3 + \dots$$

mit $B_2 = -V \frac{a_2}{a_1^2} = V \left(\frac{1}{2} - \frac{Z_2}{Z_1^2} \right)$

$$B_3 = V^2 \left(4 \frac{a_3}{a_1^3} - 2 \frac{a_2^2}{a_1^2} \right)$$

$$= V^2 \left(\frac{1}{3} - 2 \frac{Z_2^2}{Z_1^2} + 4 \frac{Z_3}{Z_1^2} - 2 \frac{Z_2}{Z_1^2} \right) \quad (6.15)$$

... gültig klassisch und in QM

b) Klassischer Grenzfall

• kanonische Zustandssumme:

$$Z_N \stackrel{(6.14)}{=} \frac{1}{N!} \frac{1}{h^{3N}} \int d^{3N} r d^{3N} p e^{-\beta H} \quad \text{mit } H = \sum_{n=1}^N \frac{p_n^2}{2m} + V_N(r^N)$$

wegen $\int d^3 p e^{-\beta \frac{p^2}{2m}} = (2\pi m k_B T)^{3/2}$

$$\rightarrow \left[\begin{aligned} Z_N(T, V) &= \frac{1}{\lambda^{3N}} Q_N(T, V) \\ \text{mit } Q_N(T, V) &= \frac{1}{N!} \int e^{-\beta V_N(r^N)} d^{3N} r \quad \dots \text{Konfigurationsanteil von } Z_N \\ \lambda &= \frac{h}{(2\pi m k_B T)^{1/2}} \quad \dots \text{Therm. de Broglie Wellenlänge} \end{aligned} \right] \quad (6.16)$$

Bem: (i) $N=1$: $V_1(r) = 0 \rightarrow Q_1 = V \rightarrow Z_1 = \frac{V}{\lambda^3}$

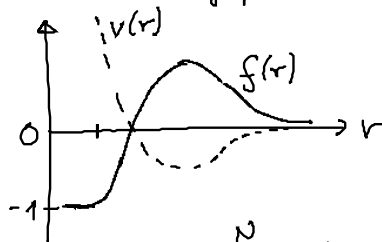
(ii) ideales Gas: $V_N(r^N) = 0 \rightarrow Q_N = \frac{V^N}{N!}$
 $\rightarrow Z_N^0 = \left(\frac{V}{\lambda^3}\right)^N \frac{1}{N!} \quad (6.17)$

• systematische Entwicklung von Q_N und $\ln Z_N$

für Paarpotential $v(r)$: Cluster-Entwicklung

(i) Wähle Mayer-Funktion als Entwicklungsparameter:

$$f(r) = \exp[-\beta v(r)] - 1 \quad (6.18)$$



gut für kurzreichweitige Potentiale
 mit $\frac{1}{V} \int d^3 r f(r) < 1$

(ii) mit $V_N(r^N) = \sum_{i < j}^N v(r_{ij})$ mit $e^{-\beta \sum_{i < j}^N v(r_{ij})} = \prod_{i < j}^N \underbrace{e^{-\beta v(r_{ij})}}_{1+f_{ij}}$

$$\begin{aligned} \xrightarrow{(6.16)} Q_N &= \frac{1}{N!} \int d^{3N} r \underbrace{\prod_{i < j}^N (1+f_{ij})}_{(1+f_{12})(1+f_{13}) \dots (1+f_{23}) \dots} \\ &= \frac{1}{N!} \int d^{3N} r \left(1 + \sum_{i < j} f_{ij} + \sum_{i < j} \sum_{k < l} f_{ij} f_{kl} + \dots \right) \quad (6.19) \end{aligned}$$

mit $f_{ij} = f(r_{ij})$

(iii) Cluster-Integral: $\int d^{3N} r \sum_{k_1 < k_2} \dots f_{ij} f_{kl} \dots$

graphische Darstellung:

• ... Vertex/Teilchen mit Position r_i

— ... „Binding“ = f_{12} zwischen r_1 und r_2

Integral	Graph	
1	•	
f_{12}	•—•	
$f_{12} f_{23}$	•—•—•	verbunden
$f_{12} f_{34}$	•—• •—•	nicht verbunden (zerfallen in verbundene Graphen)

wichtig sind Cluster mit verbundenen Graphen:

$$b_j(T) = \frac{1}{n_j! V} \sum_{\text{Konexion}} \int d^3 r_1 d^3 r_2 \dots d^3 r_{n_j} \prod_{i < k \leq n_j} f_{ik} \quad (6.21)$$

n_j ... Zahl der Vertices/Teilchen

\sum ... Permutation der Teilchen koordinaten (s.u.)

baue daraus alle möglichen Cluster-Integrale zusammen!

(iv) Beispiele:

$$\text{•—•} \stackrel{(6.21)}{=} \frac{1}{2! V} \int d^3 r_1 d^3 r_2 f(r_{12}) = \frac{1}{2! V} \int d^3 r_1 d^3 r_{12} f(r_{12})$$

$$\text{•—•} = \frac{1}{2} \int d^3 x f(x) \quad (6.22)$$

Tabelle: s. Kopie

Keachte: $b_4 = \triangle$... nicht-reduzierbarer Graph („stern“)

$b_3 = \text{•—•—•} = 2 b_2^2$... reduzierbarer Graph

(v) Berechnung von $Q_N(T, V)$

allgemeinster Term von Q_N [

$N!$ Reste Folge von Teilchen \rightarrow $\frac{1}{N!}$ Vorfaktor in Def. von Q_N

Permutation gleicher Cluster / integrale \rightarrow $\frac{1}{\prod_i m_i! (n_i!)^{m_i}}$

Permutation der Vertices innerhalb Cluster sind schon in b_j berücksichtigt \rightarrow $\prod_j \frac{[V b_j(T)]^{m_j}}{m_j!}$ (6.23)

Möglichkeit N Vertices auf die Graphen zu verteilen, wobei $\dots N = \sum_i m_i n_i$

Produkt von verbundenen Clusterintegralen

$\rightarrow Q_N = \sum_{\sum m_j n_j = N} \prod_j \frac{[V b_j(T)]^{m_j}}{m_j!}$ (6.24)

alle Sätze m_j mit $N = \sum_j m_j n_j$

(vi) Berechnung von $\ln Z_G$: $z = e^{\beta \mu}$

$\ln Z_G \stackrel{(6.10)}{=} \ln \left\{ \sum_{N=0}^{\infty} z^N \lambda^{-3N} \underbrace{Q_N}_{Z_N} \right\}$ (6.16)

$= \ln \left\{ \sum_{N=0}^{\infty} z^N \lambda^{-3N} \sum_{\sum m_j n_j = N} \prod_j \frac{[V b_j]^{m_j}}{m_j!} \right\}$

$(N = \sum_j m_j n_j) = \ln \left\{ \prod_j \sum_{m_j=0}^{\infty} \frac{[(z \lambda^{-3})^{n_j} V b_j]^{m_j}}{m_j!} \right\}$

produzieren alle möglichen Clusterintegrale mit beliebiger Teilchenzahl $N = \sum_j m_j n_j$

$\left[= \prod_j (1 + \dots b_j + \dots b_j^2 + \dots) \right]$
 $= (1 + \dots b_1 + \dots b_1^2 + \dots b_1^3 + \dots)$
 $(1 + \dots b_2 + \dots b_2^2 + \dots)$
 \vdots

$= \ln \prod_j \exp \left[(z \lambda^{-3})^{n_j} V b_j \right]$

$\ln Z_G = \sum_j V (z \lambda^{-3})^{n_j} b_j(T)$ (6.25)